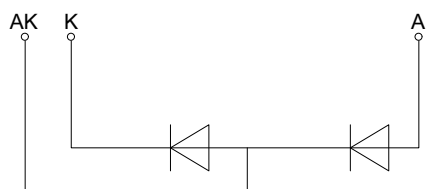
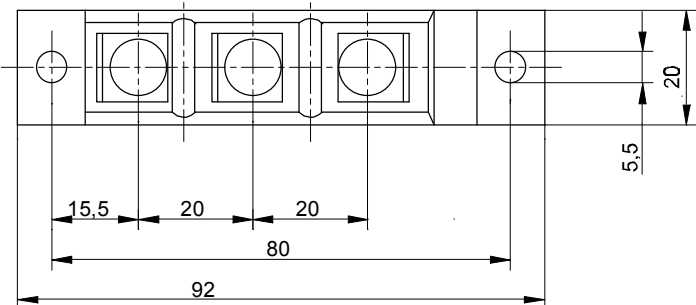
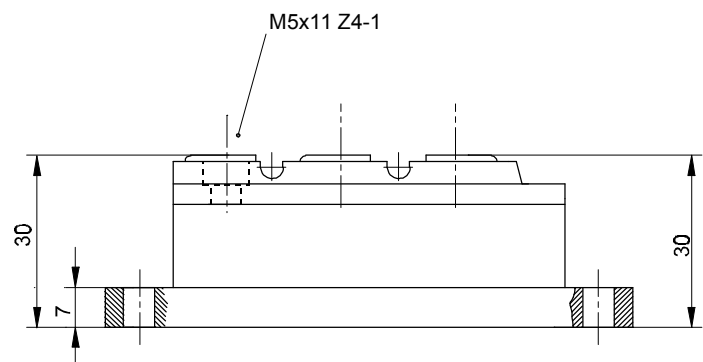


European Power-
Semiconductor and
Electronics Company
GmbH + Co. KG

Marketing Information DD 61 S



DD 61 S

| | | | | |
|----------------------------------|--------------------------------------|---|---------------------|---|
| Elektrische Eigenschaften | | Electrical properties | | |
| Höchstzulässige Werte | | Maximum rated values | | |
| Periodische Spitzensperrspannung | repetitive peak reverse voltage | $t_{vj} = -40^\circ\text{C} \dots t_{vj \max}$ | V_{RRM} | 1000 1200 1400 V |
| Stoßspitzenspannung | non-repetitive peak reverse voltage | $t_{vj} = +25^\circ\text{C} \dots t_{vj \max}$ | $V_{RSM} = V_{RRM}$ | 1000 1200 1400 V |
| Durchlaßstrom-Grenzeffektivwert | RMS forward current | | I_{FRMSM} | 120 A |
| Dauergrenzstrom | average forward current | $t_c = 100^\circ\text{C}$ | I_{FAVM} | 61 A |
| | | $t_c = 84^\circ\text{C}$ | | 76 A |
| Stoßstrom-Grenzwert | surge current | $t_{vj} \leq 45^\circ\text{C}, t_p = 10 \text{ ms}$ | I_{FSM} | 1900 A |
| | | $t_{vj} \leq 150^\circ\text{C}, t_p = 10 \text{ ms}$ | | 1600 A |
| Grenzlastintegral | $\int i^2 t \text{ value}$ | $t_{vj} \leq 45^\circ\text{C}, t_p = 10 \text{ ms}$ | $\int i^2 t$ | 18050 A ² s |
| | | $t_{vj} \leq 150^\circ\text{C}, t_p = 10 \text{ ms}$ | | 12800 A ² s |
| Charakteristische Werte | | Characteristic values | | |
| Durchlaßspannung | forward voltage | $t_{vj} = 150^\circ\text{C}, i_F = 230 \text{ A}$ | V_F | max. 1,62 V |
| Schleusenspannung | threshold voltage | | $V_{(TO)}$ | 1,0 V |
| Ersatzwiderstand | slope resistance | | r_T | 2,2 mΩ |
| Sperrstrom | reverse current | $t_{vj} = 150^\circ\text{C}, v_R = V_{RRM}$ | i_R | 40 mA |
| Nachlaufladung | lag charge | $t_{vj} = 150^\circ\text{C}, i_{FM} = 120 \text{ A}$ | Q_S | 46 μAs |
| Isolations-Prüfspannung | insulation test voltage | RMS, f = 50 Hz, t = 1 min. | V_{ISOL} | 2,5 kV |
| Thermische Eigenschaften | | Thermal properties | | |
| Innerer Wärmewiderstand | thermal resistance, junction to case | $\Theta = 180^\circ\text{el. sin: pro Modul/per module}$ R_{thJC} pro Zweig/per arm DC: pro Modul/per module pro Zweig/per arm | | 0,305 °C/W 0,61 °C/W 0,310 °C/W 0,620 °C/W |
| Übergangs-Wärmewiderstand | thermal resistance, case to heatsink | pro Modul/per module pro Zweig/per arm | R_{thCK} | 0,08 °C/W 0,16 °C/W |
| Höchstzul. Sperrsichttemperatur | max. junction temperature | | $t_{vj \ max}$ | 150 °C |
| Betriebstemperatur | operating temperature | | $t_{c \ op}$ | -40...+150 °C |
| Lagertemperatur | storage temperature | | t_{stg} | -40...+150 °C |
| Mechanische Eigenschaften | | Mechanical properties | | |
| Innere Isolation | internal insulation | | | AlN |
| Anzugsdrehmomente | tightening torques | | | |
| mechanische Befestigung | mounting torque | Toleranz/tolerance +/- 15% | M1 | 6 Nm |
| elektrische Anschlüsse | terminal connection torque | Toleranz/tolerance +5%/-10% | M2 | 6 Nm |
| Gewicht | weight | | G | typ. 200 g |
| Kriechstrecke | creepage distance | | | 14 mm |
| Schwingfestigkeit | vibration resistance | f = 50 Hz | | 5 · 9,81 m/s ² |

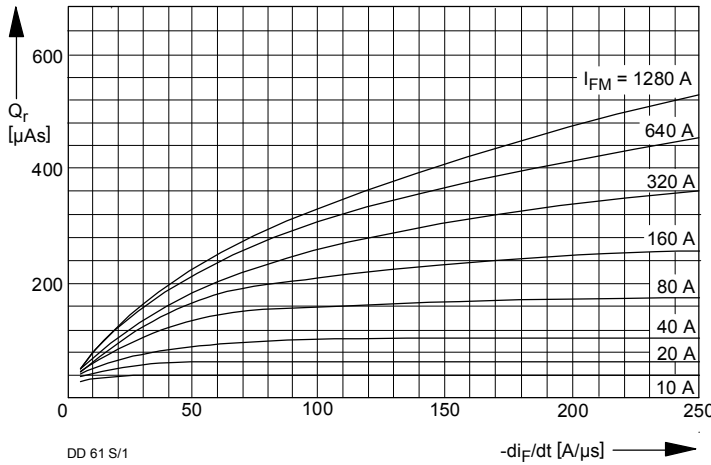


Bild / Fig. 1

Sperrverzögerungsladung $Q_r = f(-di/dt)$, $t_{vj} = t_{vj}(\max)$, $v_R \leq 0,5 V_{RRM}$, $v_{RM} = 0,8 V_{RRM}$ / Recovered charge $Q_r = f(-di/dt)$, $t_{vj} = t_{vj}(\max)$, $v_R \leq 0,5 V_{RRM}$, $v_{RM} = 0,8 V_{RRM}$ Parameter: Durchlaßstrom / On-state current I_{FM}

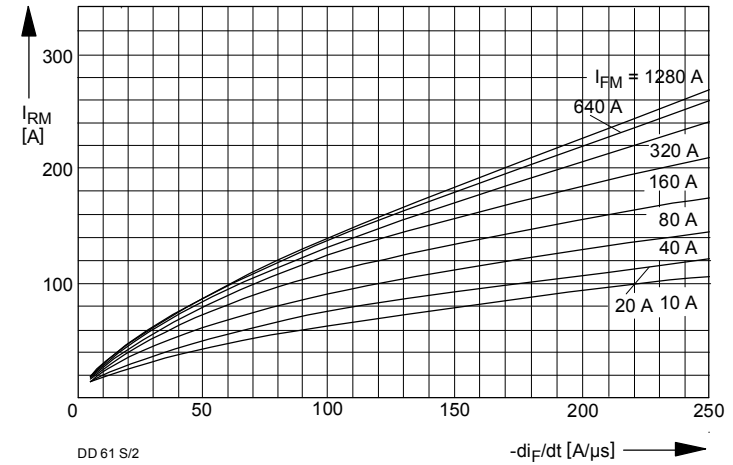


Bild / Fig. 2

Rückstromspitze $I_{RM} = f(-di/dt)$, $t_{vj} = t_{vj}(\max)$, $v_R \leq 0,5 V_{RRM}$, $v_{RM} = 0,8 V_{RRM}$ Peak reverse recovery current $I_{RM} = f(-di/dt)$, $t_{vj} = t_{vj}(\max)$, $v_R \leq 0,5 V_{RRM}$, $v_{RM} = 0,8 V_{RRM}$ Parameter: Durchlaßstrom / On-state current I_{TM}

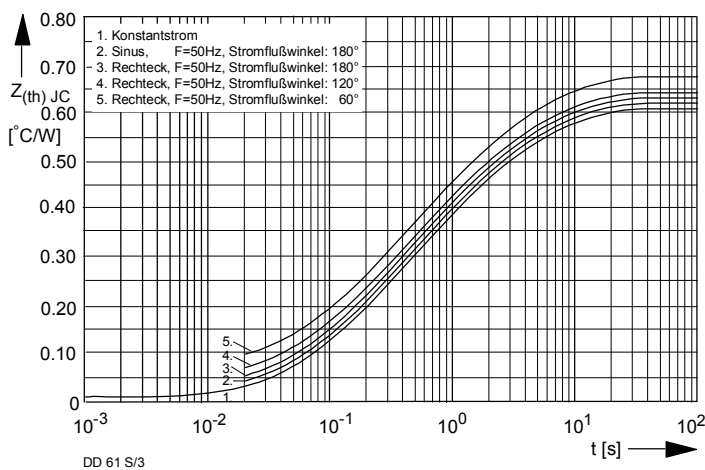


Bild / Fig. 3

Transienter innerer Wärmewiderstand Z_{thJC} für einen Zweig bei sinus- und trapezförmigem Stromverlauf / Transient thermal impedance Z_{thJC} , junction to case per arm at sinusoidal and trapezoidal waveform

Analytische Elemente des transistenten Wärmewiderstandes Z_{thJC} pro Zweig für DC
Analytical elements of transient thermal impedance Z_{thJC} per arm for DC

| Pos. n | 1 | 2 | 3 | 4 | 5 | 6 | 7 |
|--------------------------------|---------|--------|--------|--------|-------|---|---|
| $R_{thn} [\text{°C}/\text{W}]$ | 0,0102 | 0,0329 | 0,0805 | 0,0741 | 0,072 | | |
| $\tau_n [\text{s}]$ | 0,00112 | 0,0175 | 0,322 | 1,21 | 7,5 | | |

Analytische Funktion / Analytical function:

$$Z_{thJC} = \sum_{n=1}^{n_{\max}} R_{thn} (1 - e^{-\frac{t}{\tau_n}})$$